

### III.3. Нестационарные задачи с нелинейными нестационарными граничными условиями

Известно, что нестационарная нелинейная задача с граничными условиями 3-го рода аналитического решения не имеет. Сделать математически корректную и физически оправданную линеаризацию граничных условий при большом диапазоне изменения концентрации водорода в металле также не удается. Однако это возможно, если ставится задача, описывающая малые изменения давления и концентрации растворенного водорода. В частности, одно из преимуществ МОД заключается именно в том, что возможно корректное решение задачи 3-го рода, описывающей этот метод, и, таким образом, создание теоретической основы метода измерения коэффициента диффузии, свободного от ограничений на толщину образца и давление водорода со стороны малых значений. Разработка таких методов представляет большой интерес с точки зрения выполнения комплексного эксперимента для определения максимального числа параметров взаимодействия водорода с металлами. Поскольку ранее эта задача нигде не описывалась, рассмотрим ее более подробно. Будем решать диффузионное уравнение

$$\frac{\partial c}{\partial t} = D \frac{\partial^2 c}{\partial x^2}, \quad 0 \leq x \leq l$$

с граничными условиями

$$\begin{aligned} \frac{1}{q} \frac{\partial c_e}{\partial t} &= \mu p_e - \frac{b}{q^2} c_e^2(t) - D \frac{\partial c(t)}{\partial x}, \quad x = l; \\ \frac{1}{q} \frac{\partial c_e}{\partial t} &= D \frac{\partial c(t)}{\partial x} - \frac{b}{q^2} \cdot c_e^2(t), \quad x = 0. \end{aligned}$$

Пусть вначале давление  $p_e$  постоянно и равно  $p_{cm}$ . При этом для стационарного потока  $J_{cm} = D(\partial c_{cm}/\partial x)$  имеем граничные условия

$$\mu p_{cm} - \frac{b}{q^2} c_e^2 - D \frac{d c_{cm}}{dx} = 0, \quad x = l; \quad (\text{III.3.1})$$

$$D \frac{d c_{cm}}{dx} - \frac{b}{q^2} c_0 = 0, \quad x = 0, \quad (\text{III.3.2})$$

где  $c_e$  и  $c_0$  – стационарные значения концентрации водорода при  $x = l$  и  $x = 0$  соответственно.

Пусть затем давление  $p_e$  будет зависеть от времени по закону

$$p_e = p_{cm} + \Delta p \exp(i\omega t), \quad (\Delta p/p_{cm}) \ll 1. \quad (\text{III.3.3})$$

Будем искать концентрацию в виде

$$c(x, t) = c_{cm}(x) + \Delta c(x) \exp(i\omega t), \quad (\text{III.3.4})$$

где  $c_{cm}(x) = C_0 + \frac{C_\ell - C_0}{\ell} x$  – стационарное распределение концентрации водорода по толщине мембраны. Поскольку  $\Delta p / \rho_{cm} \ll 1$ , то очевидно, что и  $\Delta c / c_{cm} \ll 1$ .

Найдем уравнение и граничные условия для  $\Delta c$ . Подставляя (III.3.6) во второе уравнение Фика, получим обыкновенное дифференциальное уравнение для  $\Delta c$ :

$$i\omega \Delta c = D \frac{d^2 \Delta c}{dx^2}, \quad 0 \leq x \leq \ell. \quad (\text{III.3.5})$$

Подстановка выражения (III.3.4) в граничные условия (I.12) и (I.13) дает с учетом (III.3.1) и (III.3.2) с точностью до членов, содержащих  $\Delta c^2$ ,

$$\frac{\Delta c}{g^2} (2\beta \bar{c} + i\omega g) + D \frac{d\Delta c}{dx} = s \mu \Delta p, \quad x = \ell; \quad (\text{III.3.6})$$

$$\frac{\Delta c}{g^2} (2\beta \bar{c} - i\omega g) - D \frac{d\Delta c}{dx} = 0, \quad x = 0. \quad (\text{III.3.7})$$

Таким образом, используя в данной задаче факт малости  $\Delta p / \rho_{cm}$  и соответственно  $\Delta c / c_{cm}$ , мы получили вместо нелинейных граничных условий общего вида (I.12), (I.13) линейные граничные условия (III.3.6), (III.3.7) к уравнению (III.3.5). Эта задача уже поддается аналитическому решению без каких бы то ни было дополнительных предположений и допущений.

Решением (III.3.5) является функция вида

$$\Delta c(x) = A \exp(\gamma x) + B \exp(-\gamma x), \quad (\text{III.3.8})$$

где

$$\gamma = \sqrt{\frac{i\omega}{D}}, \quad (\text{III.3.9})$$

а  $A$  и  $B$  – коэффициенты, которые находятся из граничных условий (III.3.6) и (III.3.7).

Отыскивая коэффициенты  $A$  и  $B$  путем подстановки (III.3.8) в (III.3.6) и (III.3.7) после проведения необходимых преобразований, получим

$$\Delta c = \frac{P}{z} \left[ D \gamma \operatorname{ch} \gamma x + (X C_o + i \Omega) \operatorname{sh} \gamma x \right], \quad (\text{III.3.I0})$$

где  $P = s \mu \Delta p$ ;  $\Omega = \omega / q$ ;  $X = 2 \beta / q^2$ ,

$$z = \left[ X(C_e + C_o) + i 2 \Omega \right] \operatorname{D} \gamma \operatorname{ch}(\gamma l) + \\ + \left[ (X C_e + i \Omega)(X C_o + i \Omega) + (D \gamma)^2 \right] \operatorname{sh}(\gamma l). \quad (\text{III.3.II})$$

Выходящий из мембранны поток

$$J = J + |\Delta J| \exp i(\omega t - \varphi), \quad (\text{III.3.I2})$$

где  $\varphi$  – интересующее нас запаздывание фазы осциллирующей части выходного потока

$$\Delta J = \frac{d(\Delta c)}{dx}, \quad x = 0 \quad (\text{III.3.I3})$$

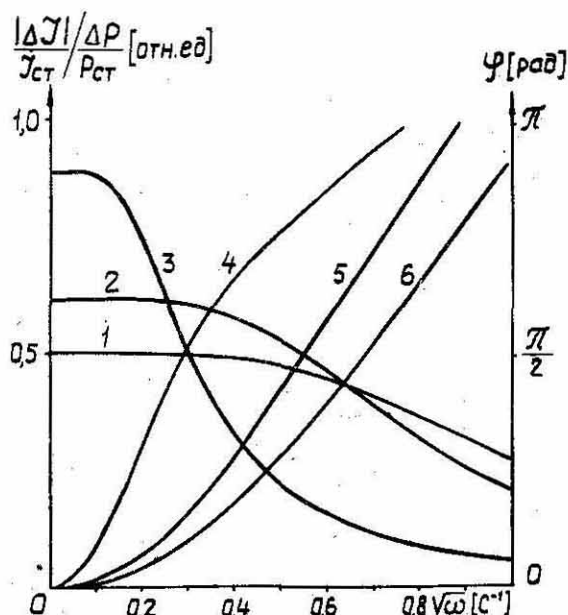
относительно колебаний давления водорода.

Подставляя в (III.3.I3) выражение для  $\Delta c$  (III.3.I0), получим

$$\Delta J = \frac{\gamma P(X C_o + i \Omega)}{z}, \quad x = 0. \quad (\text{III.3.I4})$$

Вид выражения для  $\Delta J$  представляется достаточно сложным. Не удается также получить достаточно простые и наглядные аналитические зависимости  $|\Delta J|$  и  $\varphi$  от  $\omega$ . Поэтому на рис. I6 приведены графики этих зависимостей, построенные на ЭВМ. Параметром се-

Рис. I6. Зависимость относительной амплитуды и запаздывания по фазе в МОД от частоты:  $D = 3 \cdot 10^{-5} \text{ см}^2/\text{с}$ ;  $q = 10^3 \text{ см}^{-1}$ ;  $l = 0,02 \text{ см}$ . Величина параметра  $X$ : 1,6 – 1000; 2,5 – 10; 3,4 – 2,5



рии является величина  $\chi = \frac{S \mu P_{cm}}{J_{cm}}$ , характеризующая соизмеримость стационарных потоков адсорбции и проницаемости, то есть степень влияния скорости адсорбции на проницаемость. Из (III.2.9) ясно, что  $\chi > 2$ .

Из анализа графиков на рис. I6 следует, что амплитуда осциллирующей части проникающего потока  $|\Delta J|$  не превосходит величины  $J_{cm}(\Delta P/P_{cm})$ , то есть мала по сравнению со стационарной составляющей потока и быстро затухает с увеличением  $\omega$ . Поскольку для сохранения корректности метода необходимо  $\Delta P/P_{cm} \leq 0,1$ , спад амплитуды колебаний делает затруднительной регистрацию запаздывания фазы. Поэтому практически важной для эксперимента является область малых  $\omega$ . Будем считать малыми такие значения  $\omega$ , для которых в алгебраических выражениях можно пренебречь членами, содержащими  $\omega^2$ , по сравнению с членами, не содержащими  $\omega$ .

Учитывая, что величина  $\Omega$  линейно связана с  $\omega$ , приведем выражение (III.3.II) к виду

$$z = [X(\bar{C}_e + \bar{C}_o) + 2i\Omega] D \gamma \operatorname{ch}(\gamma l) + \\ + [X^2 \bar{C}_e \bar{C}_o + i\Omega X(\bar{C}_e + \bar{C}_o) + (D\gamma)^2] \operatorname{sh}(\gamma l). \quad (\text{III.3.I5})$$

Разложим гиперболические синус и косинус в ряды, ограничившись для каждого двумя членами. Пренебрегая также членами, содержащими  $\omega^2$ , получим

$$z = \gamma \left( V D + i V \frac{\omega l^2}{2} + i \frac{2\omega}{g} D + W l + \right. \\ \left. + i \frac{\omega}{g} V l + i W \frac{\omega l^3}{6D} + i \omega D l \right), \quad (\text{III.3.I6})$$

где  $V = X(C_e + C_o)$  и  $W = X^2 C_e C_o$ .

Подставляя это выражение в (III.3.I4), получим

$$\Delta J = \frac{P \left( X C_o + \frac{i\omega}{g} \right)}{W l + V D + \frac{i\omega l^2}{6D} \left( W l + 3V D + \frac{12D^2}{g l^2} + \frac{6DV}{g l} + \frac{6D^2}{l} \right)}. \quad (\text{III.3.I7})$$

Поскольку при малых  $\omega$  мало  $\varphi$ , можно считать  $\operatorname{tg} \varphi \approx \varphi$  и сдвиг фазы можно представить в виде

$$\varphi = \frac{\omega l^2}{6D} (1 + L), \quad (\text{III.3.18})$$

где

$$L = \frac{1}{ql} \frac{2 \frac{s\mu P_{cm}}{J_{cm}} ql + 3}{2 \frac{s\mu P_{cm}}{J_{cm}}} \sqrt{\frac{s\mu P_{cm}}{J_{cm}} - 1} - \frac{3 \frac{s\mu P_{cm}}{J_{cm}} + 2}{ql} \quad (\text{III.3.19})$$

График функциональной зависимости  $L(s\mu P_{cm}/J_{cm})$  для четырех значений параметра  $ql$  (0,1; 1; 10; 100) приведен на рис. I7.

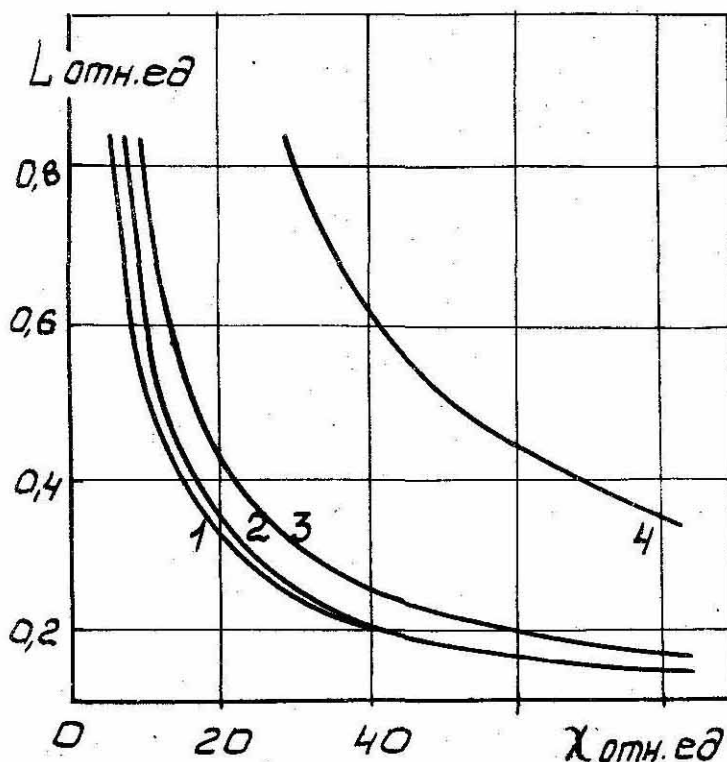


Рис. I7. Зависимость  $L$  от параметра  $\chi = s\mu P_{ct} / J_{ct}$  в МОД. Величина параметра  $ql$ : 1 - 100; 2 - 10; 3 - 1; 4 - 0,1

Из графика видно, что при  $ql \geq 100$  значение этого произведения перестает сказываться на величине добавки  $L$ . В этом случае связь сдвига фазы  $\varphi$  с коэффициентом диффузии определяется соотношением

$$\varphi = \frac{\omega l^2}{6D} \left[ 1 + \frac{2 \frac{s\mu P_{cm}}{J_{cm}} - 1}{2 \frac{s\mu P_{cm}}{J_{cm}} \sqrt{\frac{s\mu P_{cm}}{J_{cm}} - 1} - \frac{3 \frac{s\mu P_{cm}}{J_{cm}} + 2}} \right] \quad (\text{III.3.20})$$

Из выражения (III.3.19) следует, что при  $(S/\mu P_{cm}/J_{cm}) \rightarrow \infty$  (соответствует переходу к граничным условиям I-го рода)  $L \rightarrow 0$  и для сдвига фазы получается соотношение

$$\Psi = \frac{\omega \ell^2}{6 D},$$

совпадающее с (II.2.8). Выражение (III.3.18) дает экспериментальный критерий "малости" величины  $\omega$ : частоту  $\omega$  можно считать малой до тех пор, пока не перестает выполняться зависимость  $\Psi \sim \omega$ .

Таким образом, (III.3.18), (III.3.20) позволяют, измерив  $\Psi$ , независимо от соотношения потоков адсорбции и проницаемости определить  $D$ , то есть решение уравнения (I.2) с граничными условиями (I.12), (I.13) для случая малых колебаний открывает возможности для реализации метода измерений  $D$ , свободного от ограничений на давление водорода и толщину образца со стороны малых значений.

Для измерения коэффициента диффузии можно использовать и "метод малой добавки" давления водорода. С точки зрения формальной записи задачи этот метод может быть сведен к МОД с нулевой частотой [см. (III.3.3)]. При этом, однако, изменяется не сдвиг фазы, а новое время задержки

$$\tau_L^* = \frac{\ell^2}{6 D} (1 + L). \quad (\text{III.3.21})$$